

See discussions, stats, and author profiles for this publication at: <https://www.researchgate.net/publication/288827960>

# Эволюция быстрого вращения спутника под действием момента сил светового давления в среде с сопротивлением

Conference Paper · January 2007

CITATIONS

0

READS

5

2 authors, including:



**Dmytro Leshchenko**

Odessa State Academy of Civil Engineering and Architecture

**218** PUBLICATIONS **229** CITATIONS

SEE PROFILE

Some of the authors of this publication are also working on these related projects:



Evolution of rotations of a rigid body close to the Lagrange case under the action of nonstationary torque of forces [View project](#)

**РОССИЙСКАЯ АКАДЕМИЯ НАУК  
СИБИРСКОЕ ОТДЕЛЕНИЕ  
ИНСТИТУТ ДИНАМИКИ СИСТЕМ И ТЕОРИИ УПРАВЛЕНИЯ**

# ТРУДЫ

IX Международной Четаевской конференции  
**«АНАЛИТИЧЕСКАЯ МЕХАНИКА,  
УСТОЙЧИВОСТЬ И УПРАВЛЕНИЕ ДВИЖЕНИЕМ»**  
посвященной 105-летию Н.Г. ЧЕТАЕВА

**Том 5**

Механика космического полета  
Колебания и волны  
Гибридные системы

Иркутск  
2007

# Эволюция быстрого вращения спутника под действием момента сил светового давления в среде с сопротивлением

Д.Д. Лещенко (leshchenko\_d@ukr.net), А.Л. Рачинская (rachinskaya@onu.edu.ua)  
Одесская государственная академия строительства и архитектуры, Одесса

**Аннотация.** Исследуется быстрое вращательное движение относительно центра масс спутника под действием моментов сил светового давления и сопротивления. Тело предполагается несимметричным, а его поверхность является поверхностью вращения. Орбитальные движения с произвольным эксцентриситетом предполагаются заданными. Момент сил сопротивления полагается линейной функцией угловой скорости. Анализируется система, полученная после усреднения по движению Эйлера–Пуансо. Установлены эффекты убывания модуля кинетического момента и кинетической энергии. Определена ориентация вектора кинетического момента в орбитальной системе координат. Проведены численный анализ в общем случае и аналитическое исследование в окрестности осевого вращения и для случая малой диссипации.

**Ключевые слова:** спутник, световое давление, сопротивление, усреднение.

## 1. Постановка задачи

Рассмотрим движение спутника относительно центра масс под действием совместного влияния моментов сил светового давления и сопротивления. Вращательные движения рассматриваются в рамках модели динамики твердого тела, центр масс которого движется по эллиптической орбите вокруг Солнца. Задачи динамики обобщаются и усложняются учетом различных возмущающих факторов, и в настоящее время остаются достаточно актуальными. Исследованию вращательных движений тел относительно неподвижной точки под действием возмущающих моментов сил различной природы (гравитационных, аэродинамических, светового давления и др.), близкому к приводимому ниже, посвящены работы [1–17].

Введем три правых декартовых системы координат, начало которых совместим с центром инерции спутника [1, 2]. Система координат  $Ox_i$  ( $i = 1, 2, 3$ ) движется поступательно по орбите Солнца вместе со спутником; ось  $Ox_1$  параллельна радиусу-вектору орбиты в ее перигелии, ось  $Ox_2$  — направлению вектора скорости центра масс спутника в перигелии, ось  $Ox_3$  — нормали к плоскости орбиты.

Система координат  $Oy_i$  ( $i = 1, 2, 3$ ) связана со спутником и ориентирована по вектору кинетического момента  $\mathbf{G}$ . Ось  $Oy_3$  направлена по вектору кинетического момента  $\mathbf{G}$ , ось  $Oy_2$  лежит в плоскости орбиты (т.е. в плоскости  $Ox_1x_2$ ), ось  $Oy_1$  лежит в плоскости  $Ox_3y_3$  и направлена так, что векторы  $y_1, y_2, y_3$  образуют правую тройку [1–3]. Оси системы координат  $Oz_i$  ( $i = 1, 2, 3$ ) связаны с главными центральными осями инерции твердого тела. Взаимное положение главных центральных осей инерции и осей  $Oy_i$  определим углами Эйлера. При этом направляющие косинусы  $\alpha_{ij}$  осей  $Oz_i$  относительно системы  $Oy_i$  выражаются через углы Эйлера  $\varphi, \psi, \theta$  по известным формулам [1]. Положение вектора кинетического момента  $\mathbf{G}$  относительно его центра масс в системе координат  $Ox_i$  определяется углами  $\lambda$  и  $\delta$ , как показано в [1–3].

Уравнения движения тела относительно центра масс запишем в форме [2]

$$\begin{aligned} \frac{dG}{dt} &= L_3, \quad \frac{d\delta}{dt} = \frac{L_1}{G}, \quad \frac{d\lambda}{dt} = \frac{L_2}{G \sin \delta}, \\ \frac{d\theta}{dt} &= G \sin \theta \sin \varphi \cos \varphi \left( \frac{1}{A_1} - \frac{1}{A_2} \right) + \frac{L_2 \cos \psi - L_1 \sin \psi}{G}, \\ \frac{d\varphi}{dt} &= G \cos \theta \left( \frac{1}{A_3} - \frac{\sin^2 \varphi}{A_1} - \frac{\cos^2 \varphi}{A_2} \right) + \frac{L_1 \cos \psi + L_2 \sin \psi}{G \sin \theta}, \\ \frac{d\psi}{dt} &= G \left( \frac{\sin^2 \varphi}{A_1} + \frac{\cos^2 \varphi}{A_2} \right) - \frac{L_1 \cos \psi + L_2 \sin \psi}{G} \operatorname{ctg} \theta - \frac{L_2}{G} \operatorname{ctg} \delta. \end{aligned} \quad (1.1)$$

Здесь  $L_i$  — моменты внешних сил относительно осей  $Oy_i$ ,  $G$  — величина кинетического момента,  $A_i$  ( $i = 1, 2, 3$ ) — главные центральные моменты инерции относительно осей  $Oz_i$ .

Проекции  $L_i$  момента внешних сил, складываются из момента сил светового давления  $L_i^c$  и момента сил внешнего сопротивления  $L_i^r$ .

Допустим, что поверхность космического аппарата представляет собой поверхность вращения, причем единичный орт оси симметрии  $\mathbf{k}$  направлен вдоль оси  $Oz_3$ . Как показано в [1, 8, 9], в этом случае для момента сил светового давления  $L_i^c$ , действующего на спутник, имеет место формула

$$\begin{aligned} \mathbf{L}^c &= (a_c(\varepsilon_s) R_0^2 / R^2) \mathbf{e}_r \times \mathbf{k}, \\ a_c(\varepsilon_s) \frac{R_0^2}{R^2} &= p_c S(\varepsilon_s) Z'_0(\varepsilon_s), \quad p_c = \frac{E_0}{c} \left( \frac{R_0}{R} \right)^2. \end{aligned} \quad (1.2)$$

Здесь  $\mathbf{e}_r$  — единичный вектор по направлению радиус-вектора орбиты;  $\varepsilon_s$  — угол между направлениями  $\mathbf{e}_r$  и  $\mathbf{k}$  такой, что  $|\mathbf{e}_r \times \mathbf{k}| = \sin \varepsilon_s$ ;  $R$  — текущее расстояние от центра Солнца до центра масс спутника;  $R_0$  — фиксированное значение  $R$ , например, в начальный момент времени;  $a_c(\varepsilon_s)$  — коэффициент момента сил светового давления, определяемый свойствами поверхности;  $S$  — площадь "тени" на плоскости, нормальной к потоку;  $Z'_0$  — расстояние от центра масс до центра давления;  $p_c$  — величина светового давления на расстоянии  $R$  от центра Солнца;  $c$  — скорость света;  $E_0$  — величина потока энергии светового давления на расстоянии  $R_0$  от центра Солнца. Если  $R_0$  — радиус орбиты Земли, тогда  $p_{c0} = 4.64 \cdot 10^{-6}$  Па.

В работе предполагается, что момент сопротивления  $\mathbf{L}^r$  может быть представлен в виде  $\mathbf{L}^r = I\omega$ , где тензор  $I$  имеет постоянные компоненты  $I_{ij}$  в системе  $Oz_i$ , связанной с телом [1, 5].

В некоторых случаях удобно наряду с переменной  $\theta$  использовать в качестве дополнительной переменной важную характеристику — кинетическую энергию  $T$ , производная которой имеет вид

$$\begin{aligned} \frac{dT}{dt} &= \frac{2T}{G} L_3 + G \sin \theta \left[ \cos \theta \left( \frac{\sin^2 \varphi}{A_1} + \frac{\cos^2 \varphi}{A_2} - \frac{1}{A_3} \right) (L_2 \cos \psi - L_1 \sin \psi) + \right. \\ &\quad \left. + \sin \varphi \cos \varphi \left( \frac{1}{A_1} - \frac{1}{A_2} \right) (L_1 \cos \psi + L_2 \sin \psi) \right]. \end{aligned} \quad (1.3)$$

Центр масс спутника движется по кеплеровскому эллипсу с эксцентриситетом  $e$  и периодом обращения  $Q$ . Зависимость истинной аномалии  $\nu$  от времени  $t$  дается соотношением

$$\frac{d\nu}{dt} = \frac{\omega_0(1 + e \cos \nu)^2}{(1 - e^2)^{3/2}}, \quad \omega_0 = \frac{2\pi}{Q}. \quad (1.4)$$

Здесь  $\omega_0$  — средняя угловая скорость движения центра масс по эллиптической орбите,  $Q$  — период обращения спутника,  $e$  — эксцентриситет орбиты.

Рассматривается динамически несимметричный спутник, моменты инерции которого для определенности удовлетворяют неравенству  $A_1 > A_2 > A_3$  в предположении, что угловая скорость  $\omega$  движения спутника относительно центра масс существенно больше угловой скорости орбитального движения  $\omega_0$ , т.е.  $\varepsilon = \omega/\omega_0 \sim A_1\omega_0/G_0 \ll 1$ , где  $G_0$  — кинетический момент спутника в начальный момент времени. В этом случае кинетическая энергия вращения тела велика по сравнению с моментами возмущающих сил.

Сопrotивление среды предполагаем слабым, порядка малости  $\varepsilon^2$ :  $\|I\|/G_0 \sim \varepsilon^2 \ll 1$ , где  $\|I\|$  — норма матрицы коэффициентов сопротивления.

Полагаем [1]  $a_c = a_c(\cos \varepsilon_s)$  и аппроксимируем ее полиномами по степеням  $\cos \varepsilon_s$ . Представим функцию  $a_c(\cos \varepsilon_s)$  в виде

$$a_c = a_0 + a_1 \cos \varepsilon_s + \dots$$

Далее рассмотрим только второй член разложения. Предположим также, что  $a_1 \sim \varepsilon$ .

Ставится задача: поставить и исследовать решение системы (1.3), (1.4) при малом  $\varepsilon$  на большом промежутке времени  $t \sim \varepsilon^{-2}$ . Для решения задачи будем применять метод усреднения [18]. Усреднение по движению Эйлера-Пуансо проводится по методике работы [2] для нерезонансных случаев.

## 2. Решение задачи в общем виде

Рассмотрим движение при условии  $2TA_1 \geq G^2 \geq 2TA_2$ , соответствующем траекториям вектора кинетического момента, охватывающим ось максимального момента инерции  $Oz_1$  [19]. Введем величину

$$k^2 = \frac{(A_2 - A_3)(2TA_1 - G^2)}{(A_1 - A_2)(G^2 - 2TA_3)} \quad (0 \leq k^2 \leq 1), \quad (2.1)$$

представляющую собой в невозмущенном движении постоянную-модуль эллиптических функций, описывающих это движение.

В результате усреднения по  $\psi$ , а затем по времени  $t$ , с учетом зависимости  $\varphi, \theta$  от  $t$  [2] получим систему уравнений [7, 13]:

$$\begin{aligned}
\frac{d\delta}{dt} &= -a_1 R_0^2 (2GR^2)^{-1} H \sin \delta \sin 2(\lambda - \nu); \\
\frac{d\lambda}{dt} &= -a_1 R_0^2 (GR^2)^{-1} H \cos \delta \cos^2(\lambda - \nu); \\
\frac{dG}{dt} &= -\frac{G}{D(k)} \left\{ I_{22} (A_1 - A_3) W(k) + I_{33} (A_1 - A_2) [k^2 - W(k)] + \right. \\
&\quad \left. + I_{11} (A_2 - A_3) [1 - W(k)] \right\}; \\
\frac{dT}{dt} &= -\frac{2T}{D(k)} \left\{ I_{22} (A_1 - A_3) W(k) + I_{33} (A_1 - A_2) [k^2 - W(k)] + \right. \\
&\quad \left. + \frac{(A_1 - A_2)(A_1 - A_3)(A_2 - A_3)}{V(k)} \left\{ \frac{I_{33}}{A_3} [k^2 - W(k)] + \frac{I_{22}}{A_2} (1 - k^2) W(k) \right\} + \right. \\
&\quad \left. + \frac{I_{11} (A_2 - A_3) D(k)}{A_1 V(k)} [1 - W(k)] \right\}; \\
W(k) &= 1 - \frac{E(k)}{K(k)}, \quad D(k) = A_1 (A_2 - A_3) + A_3 (A_1 - A_2) k^2, \\
V(k) &= A_2 - A_3 + (A_1 - A_2) k^2.
\end{aligned} \tag{2.2}$$

Здесь  $K(k)$  и  $E(k)$  — полные эллиптические интегралы первого и второго рода соответственно [20], функция  $H(k)$  в первых двух уравнениях равна

$$H = \frac{1}{2} \left[ 3a^2 \frac{E(k)}{K(k)} - 1 \right], \quad \text{если } 2TA_2 - G^2 > 0;$$

$$H = \frac{1}{2} \left\{ \frac{3a^2}{k^2} \left[ k^2 - 1 + \frac{E(k)}{K(k)} \right] - 1 \right\}, \quad \text{если } 2TA_2 - G^2 < 0;$$

$$a^2 = \frac{\varepsilon_1 + h}{1 + \varepsilon_1}, \quad \varepsilon_1 = \frac{A_3 (A_1 - A_2)}{A_1 (A_2 - A_3)}, \quad h = \left( \frac{2T}{G^2} - \frac{1}{A_2} \right) \frac{A_2 A_3}{A_2 - A_3}.$$

Дифференцируя выражение (2.1) для  $k^2$  и используя два последних уравнения (2.2), получим дифференциальное уравнение, которое не зависит от других переменных:

$$\begin{aligned}
\frac{dk^2}{d\xi} &= (1 - \chi)(1 - k^2) - \left[ (1 - \chi) + (1 + \chi)k^2 \right] \frac{E(k)}{K(k)}, \\
\chi &= (2I_{22}A_1A_3 - I_{11}A_2A_3 - I_{33}A_1A_2) / [(I_{33}A_1 - I_{11}A_3)A_2], \\
\xi &= (t - t_*)/N, \quad N = A_1A_3 / (I_{33}A_1 - I_{11}A_3) \sim \varepsilon^{-2}.
\end{aligned} \tag{2.3}$$

Из уравнений (2.2) следует, что на изменение  $G$  и  $T$  в первом приближении оказывает влияние только сила сопротивления. В [7] показано, что переменные  $G$  и  $T$  строго убывают для любых  $k^2 \in [0, 1]$ .

Отметим, что на эволюцию  $k^2$  оказывает влияние только сопротивление среды. Численное интегрирование уравнения (2.3) при начальном условии  $k^2(0) \approx 1$  показывает [7], что функция  $k^2$  монотонно убывает с ростом  $\xi$ , причем тем быстрее, чем больше  $\chi$ .

Уравнение (2.3) для  $k^2$  допускает стационарные точки  $k^2 = k_*^2$  при  $\chi < -3$ , когда независимо от  $G$  и  $T$  величина  $k^2$  в силу уравнения (2.3) остается постоянной при соответствующем выборе начальных условий [5, 7].

Как известно [3],

$$R = \frac{\rho_0}{1 + e \cos \nu},$$

а фокальный параметр орбиты определяется равенством

$$\rho_0 = \frac{\mu^{1/3}(1 - e^2)}{\omega_0^{2/3}}.$$

Тогда первые два уравнения системы (2.2) примут вид

$$\begin{aligned} \frac{d\delta}{dt} &= -\frac{a_1 R_0^2 \omega_0^{4/3} (1 + e \cos \nu)^2}{2G \mu^{2/3} (1 - e^2)^2} H \sin \delta \sin 2(\lambda - \nu), \\ \frac{d\lambda}{dt} &= -\frac{a_1 R_0^2 \omega_0^{4/3} (1 + e \cos \nu)^2}{G \mu^{2/3} (1 - e^2)^2} H \cos \delta \cos^2(\lambda - \nu). \end{aligned} \quad (2.4)$$

Рассмотрим эти два уравнения и уравнение для истинной аномалии (1.4). Уравнения можно записать в виде

$$\dot{\delta} = a_1 \omega_0^{4/3} \Delta(\nu, \delta, \lambda), \quad \dot{\lambda} = a_1 \omega_0^{4/3} \Lambda(\nu, \delta, \lambda),$$

где предполагается  $a_1 \omega_0^{4/3} \sim \varepsilon^2$ ;

$$\dot{\nu} = \frac{\omega_0}{h(e)} (1 + e \cos \nu)^2, \quad h(e) = (1 - e^2)^{3/2}.$$

Здесь  $\Delta$ ,  $\Lambda$  — правые части этих уравнений,  $\delta$ ,  $\lambda$  — медленные переменные, а  $\nu$  — полумедленная. Применяем модифицированный метод усреднения [21] и имеем

$$\dot{\delta} = 0, \quad \dot{\lambda} = -\frac{a_1 R_0^2 \omega_0^{4/3} H \cos \delta}{2\mu^{2/3} G (1 - e^2)^{1/2}}. \quad (2.5)$$

Численно проинтегрируем систему из двух уравнений (2.5) для  $\delta$ ,  $\lambda$ , уравнений для  $G$ ,  $T$  системы (2.2), уравнения для  $\nu$  (1.4) и уравнения для  $k^2$ :

$$\begin{aligned} \frac{dk^2}{dt} &= \frac{I_{33} A_1 - I_{11} A_3}{A_1 A_3} \left\{ (1 - \chi) (1 - k^2) - [(1 - \chi) + (1 + \chi) k^2] \frac{E(k)}{K(k)} \right\}, \\ \chi &= (2I_{22} A_1 A_3 - I_{11} A_2 A_3 - I_{33} A_1 A_2) / [(I_{33} A_1 - I_{11} A_3) A_2]. \end{aligned} \quad (2.6)$$

Интегрирование производилось при начальных условиях  $G(0) = 1$ ;  $k^2(0) = 0.99$ ;  $\omega(0) = 0.0011775$  рад/с;  $\delta(0) = 0.785$  рад;  $\lambda(0) = 0.785$  рад и значениях главных центральных моментов инерции тела  $A_1 = 3.2$ ;  $A_2 = 2.6$ ;  $A_3 = 1.67$ . Численный расчет

выполнялся для орбиты спутника "Протон-2" с эксцентриситетом  $e = 0.033$ . Для коэффициентов сопротивления рассматривались два возможных варианта:  $I_{11} = 2.322$ ;  $I_{22} = 1.31$ ;  $I_{33} = 1.425$  и  $I_{11} = 0.919$ ;  $I_{22} = 5.228$ ;  $I_{33} = 1.666$ . В первом случае величина  $\chi$  уравнения (2.6) была отрицательной  $-4.474$ , а во втором  $-3.852$ . Величина коэффициента момента сил светового давления  $a_1 = 10^{-5}$  Нм, гравитационная постоянная  $\mu = 1.327 \cdot 10^{20}$  м<sup>3</sup>/с<sup>2</sup>. Пусть начальное расстояние  $R_0$  равно расстоянию между центрами Земли и Солнца  $-149.5 \cdot 10^9$  м. Численный анализ показывает, что функции  $G(t)$  и  $T(t)$  являются монотонно убывающими (кривые 1, 2 на рис. 1, 2).

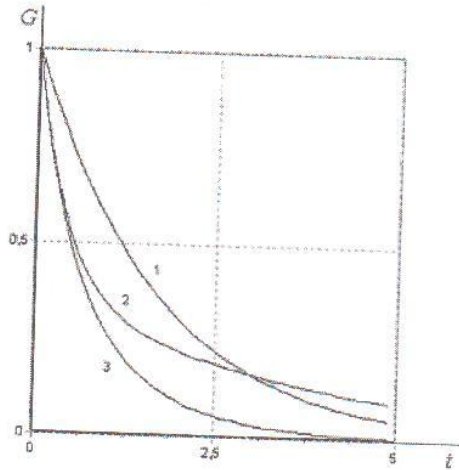


Рис. 1

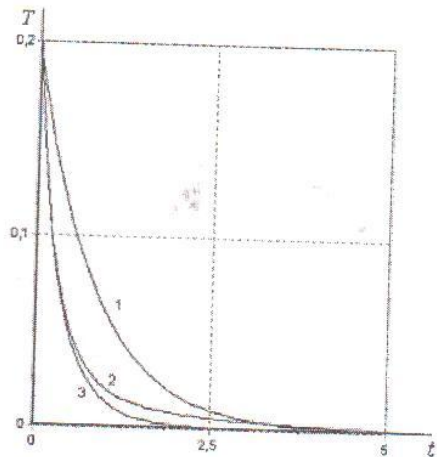


Рис. 2

Видно, что при положительной величине  $\chi$  (кривые 2 на рис. 1, 2) функции убывают быстрее, но функция  $G(t)$  стремится к асимптоте медленнее за больший промежуток времени. Угол  $\delta$  остается постоянным согласно первому уравнению (2.5). Угол  $\lambda$  изменяется, и графики имеют вид, представленный на рис. 3.

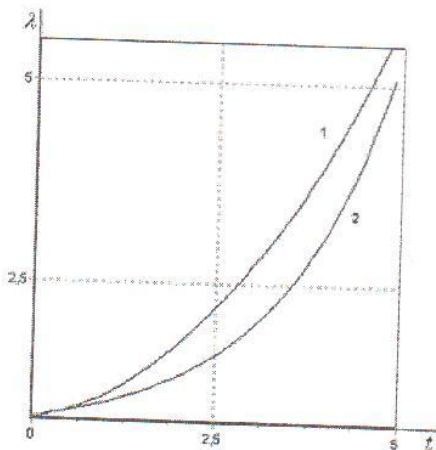


Рис. 3

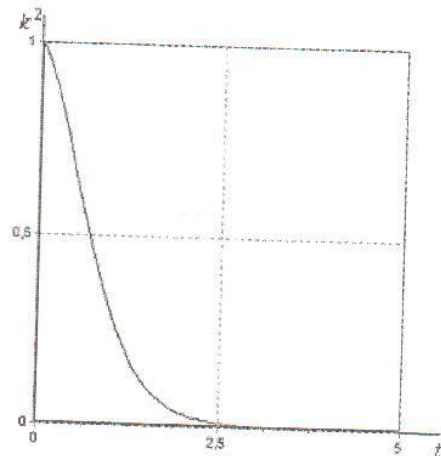


Рис. 4

Кривая 1 соответствует отрицательному значению  $\chi$ , а кривая 2 — положительному. Как видно из графиков, с увеличением времени угол  $\lambda$  также увеличивается. Проанализируем второе уравнение (2.5) в случае положительного  $\chi$ . График модуля эллиптических функций имеет вышеуказанный вид (рис. 4), т.е.  $k^2 \rightarrow 0$ , а функция  $H \rightarrow \frac{1}{2} [3a^2 - 1]$  (2.2). График изменения величины  $a$  имеет вид, представленный на рис. 5.

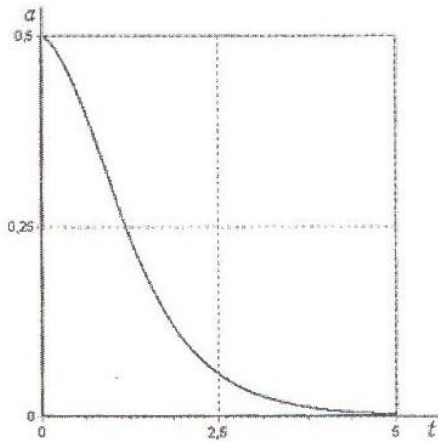


Рис. 5

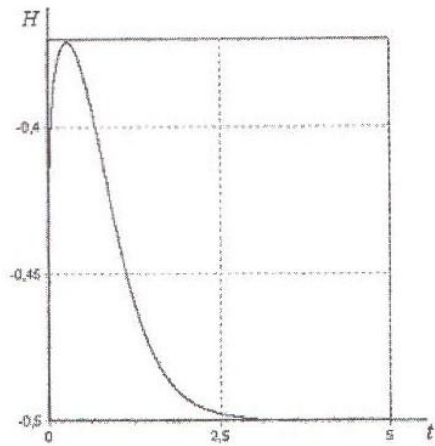


Рис. 6

Видно, что с увеличением времени  $a \rightarrow 0$  (рис. 5), а значит, функция  $H$  должна стремиться к величине  $-0.5$ , что подтверждается численным расчетом (рис. 6).

Рассмотрим движение при условии  $2TA_2 \geq G^2 \geq 2TA_3$ , соответствующем траекториям вектора кинетического момента, охватывающим ось момента инерции  $Oz_3$ . В этом случае в равенстве (2.1) и в уравнениях системы (2.2) необходимо поменять местами  $A_1$  и  $A_3$ , а так же  $I_{11}$  и  $I_{33}$ . Кроме того, величину  $\chi$  в уравнении (2.6) заменим на  $-\chi$ , а в уравнении (2.6) добавим знак "минус". Начальные условия сохраняют те же значения. Величина  $\chi$  в обоих расчетных вариантах сохраняет свои значения, а функции  $G(t)$  и  $T(t)$  также являются монотонно убывающими. Как видно из графиков (кривые 1 и 3 на рис. 1, 2), характер функций сохраняется, как в предыдущей постановке, однако убывание функций происходит быстрее в случае положительного значения величины  $\chi$  (кривые 3 на рис. 1, 2).

Угол  $\delta$  остается постоянным согласно первому уравнению (2.5). Угол  $\lambda$  изменяется, и графики имеют вид, представленный рис. 7. При более тщательном исследовании можно увидеть, что на малых временах функция  $\lambda(t)$  не является монотонно убывающей (рис. 8).

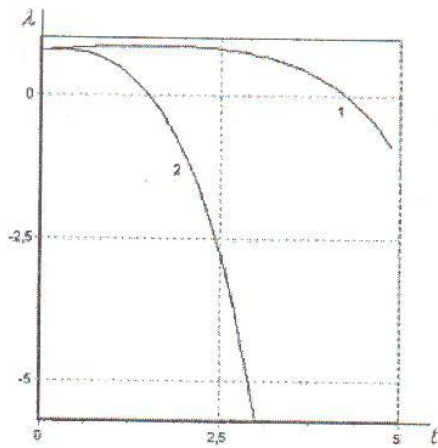


Рис. 7

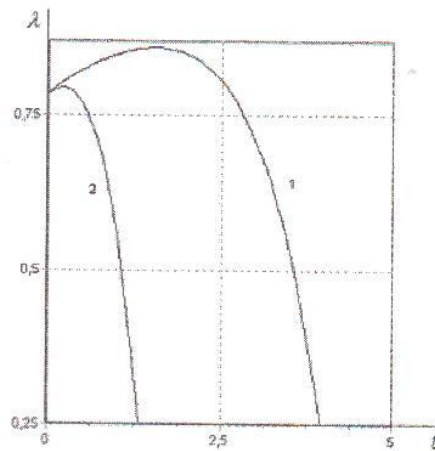


Рис. 8

Промежутки возрастания и убывания функции  $\lambda(t)$  означают, что производная этой функции, определяемая вторым уравнением (2.5), меняет свой знак. Все величины, входящие в это выражение, являются знакопостоянными, кроме функции  $H$ . Численный расчет позволяет построить графики этой функции в двух расчетных вариантах при условии  $2GA_2 \geq G^2 \geq 2GA_3$ . Как видно из графиков, функция  $H(t)$  (рис. 9) сначала принимает отрицательные значения, а затем положительные. Моменты времени, когда функция принимает нулевые значения, соответствуют точкам максимума функции  $\lambda(t)$  (рис. 8).

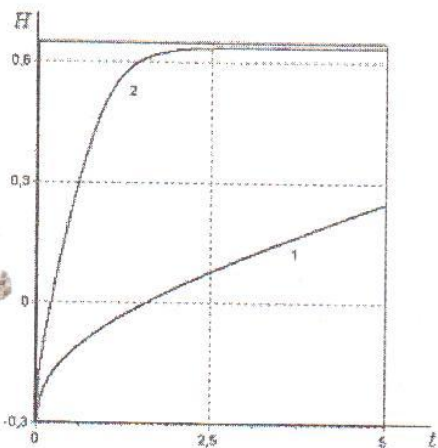


Рис. 9

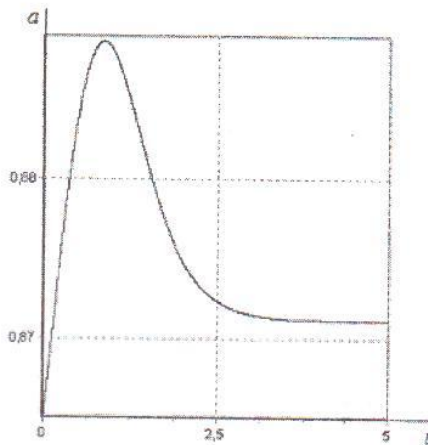


Рис. 10

Проанализируем второе уравнение (2.5) в случае положительного  $\chi$ . Модуль эллиптических функций  $k^2 \rightarrow 0$ , а функция  $H \rightarrow \frac{1}{2} [3a^2 - 1]$  (2.2). График изменения величины  $a$  имеет вид, указанный на рис. 10. При подстановке асимптотического зна-

чения  $a$  в вышеуказанную формулу имеем асимптотическое значение  $H$  на кривой 2 рис. 9.

Рассмотренный численный расчет производился в размерном виде. Имело бы смысл произвести численный расчет для безразмерной системы уравнений. Характерными величинами задачи будут:  $G_0$  — кинетический момент спутника при  $t = 0$ ,  $\Omega_0$  — величина угловой скорости  $\omega$  движения спутника относительно центра масс в начальный момент времени. Малым параметром задачи будет величина  $\varepsilon = \frac{\omega_0}{\Omega_0}$ . Безразмерные величины определяются равенствами

$$\tilde{t} = \Omega_0 t, \quad \tilde{G} = \frac{G}{G_0}, \quad \tilde{T} = \frac{T}{G_0 \Omega_0}, \quad \tilde{A}_i = \frac{A_i \Omega_0}{G_0}.$$

Введем обозначение

$$\Gamma = \frac{a_1 R_0^2 \Omega_0}{G_0 \mu^{2/3} \omega_0^{2/3}} \quad (2.7)$$

и назовем эту величину приведенным коэффициентом момента сил светового давления.

После безразмеривания система (2.2) принимает вид

$$\begin{aligned} \frac{d\delta}{d\tilde{t}} &= -\frac{\Gamma \tilde{H}(1+e \cos \nu)^2}{2\tilde{G}(1-e^2)^2} \varepsilon^2 \sin \delta \sin 2(\lambda - \nu); \\ \frac{d\lambda}{d\tilde{t}} &= -\frac{\Gamma \tilde{H}(1+e \cos \nu)^2}{\tilde{G}(1-e^2)^2} \varepsilon^2 \cos \delta \cos^2(\lambda - \nu); \\ \frac{d\tilde{G}}{d\tilde{t}} &= -\frac{\tilde{G}}{\tilde{D}(k)} \varepsilon^2 \left\{ I_{22}(\tilde{A}_1 - \tilde{A}_3) W(k) + I_{33}(\tilde{A}_1 - \tilde{A}_2) [k^2 - W(k)] + \right. \\ &\quad \left. + I_{11}(\tilde{A}_2 - \tilde{A}_3) [1 - W(k)] \right\}; \\ \frac{d\tilde{T}}{d\tilde{t}} &= -\frac{2\tilde{T}}{\tilde{D}(k)} \varepsilon^2 \left\{ I_{22}(\tilde{A}_1 - \tilde{A}_3) W(k) + I_{33}(\tilde{A}_1 - \tilde{A}_2) [k^2 - W(k)] + \right. \\ &\quad \left. + \frac{I_{11}(\tilde{A}_2 - \tilde{A}_3) \tilde{D}(k)}{\tilde{A}_1 \tilde{V}(k)} [1 - W(k)] \right\}; \\ W(k) &= 1 - \frac{E(k)}{K(k)}, \quad \tilde{D}(k) = \tilde{A}_1(\tilde{A}_2 - \tilde{A}_3) + \tilde{A}_3(\tilde{A}_1 - \tilde{A}_2) k^2, \\ \tilde{V}(k) &= \tilde{A}_2 - \tilde{A}_3 + (\tilde{A}_1 - \tilde{A}_2) k^2. \end{aligned} \quad (2.8)$$

Уравнение истинной аномалии (1.4) принимает вид

$$\frac{d\nu}{d\tilde{t}} = \varepsilon \frac{(1+e \cos \nu)^2}{(1-e^2)^{3/2}}.$$

В первых двух уравнениях системы (2.8) функция  $\tilde{H}$  равна:

$$\tilde{H} = \frac{1}{2} \left[ 3\tilde{a}^2 \frac{E(k)}{K(k)} - 1 \right], \quad \text{если } 2\tilde{T}\tilde{A}_2 - \tilde{G}^2 > 0;$$

$$\tilde{H} = \frac{1}{2} \left\{ \frac{3\tilde{a}^2}{k^2} \left[ k^2 - 1 + \frac{E(k)}{K(k)} \right] - 1 \right\}, \quad \text{если } 2\tilde{T}\tilde{A}_2 - \tilde{G}^2 < 0;$$

$$\tilde{a}^2 = \frac{\tilde{\varepsilon}_1 + \tilde{h}}{1 + \tilde{\varepsilon}_1}, \quad \tilde{\varepsilon}_1 = \frac{\tilde{A}_3(\tilde{A}_1 - \tilde{A}_2)}{\tilde{A}_1(\tilde{A}_2 - \tilde{A}_3)}, \quad \tilde{h} = \left( \frac{2\tilde{T}}{\tilde{G}^2} - \frac{1}{\tilde{A}_2} \right) \frac{\tilde{A}_2\tilde{A}_3}{\tilde{A}_2 - \tilde{A}_3}.$$

Из системы (2.8) видно, что  $\delta, \lambda$  — медленные переменные, а  $\nu$  — полумедленная:

$$\dot{\delta} = \varepsilon^2 \Delta(\nu, \delta, \lambda), \quad \dot{\lambda} = \varepsilon^2 \Lambda(\nu, \delta, \lambda),$$

$$\dot{\nu} = \frac{\varepsilon}{h(e)} (1 + e \cos \nu)^2, \quad h(e) = (1 - e^2)^{3/2}.$$

Применяем модифицированный метод усреднения [21] и имеем

$$\dot{\delta} = 0, \quad \dot{\lambda} = -\varepsilon^2 \frac{\Gamma \tilde{H} \cos \delta}{2\tilde{G}(1 - e^2)^{1/2}}. \quad (2.9)$$

Численный расчет производился при тех же начальных условиях, для тех же значений моментов инерции и коэффициентов сопротивления. При значении  $\Omega_0 = 0.043611$  рад/с для малого времени  $\tau = \varepsilon^2 \tilde{t}$  имеем картину, представленную на рис. 11.

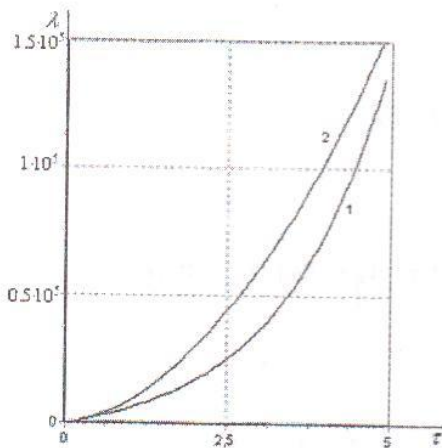


Рис. 11

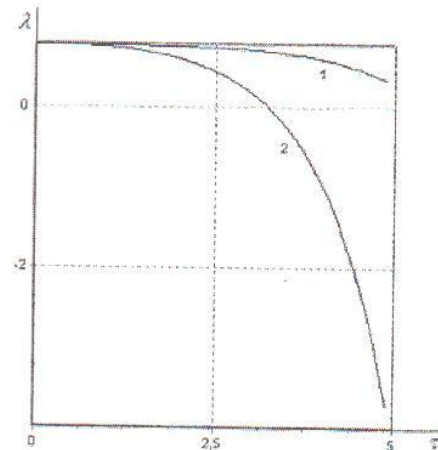


Рис. 12

Проанализируем уравнение для угла  $\lambda$  в системе (2.9). В правой части уравнения имеется приведенный коэффициент  $\Gamma$ , который выражается согласно формуле (2.7). Проведем численное исследование зависимости угла  $\lambda$  от значения этого коэффициента. На рис. 12 изображены графики изменения угла  $\lambda$  уравнения (2.9): кривая 1 соответствует значению коэффициента  $\Gamma = 10^{-2}$ , а кривая 2 —  $\Gamma = 10^{-1}$ . Видно, что при увеличении коэффициента на один порядок убывание функции  $\lambda(\tilde{t})$  происходит существенно быстрее.

### 3. Анализ предельных случаев

Исследуем систему (2.2) в случае малого модуля эллиптических функций  $k^2 \ll 1$ . При этом предположении асимптотическое решение записывается в виде

$$k^2 = k_0^2 \exp[-\rho t], \quad \rho = \alpha_2 + \alpha_3 - 2\alpha_1, \quad \alpha_i = I_{ii}/A_i \quad (i = 1, 2, 3). \quad (3.1)$$

Функции кинетического момента  $G(t)$  и кинетической энергии  $T(t)$  представимы в аналитической форме:

$$G = G_0 \exp\{-\alpha_1 t + b \exp[-\rho t]\}, \quad T = T_0 \exp\{-2\alpha_1 t + c \exp[-\rho t]\},$$

$$b = \frac{0.5k_0^2}{\rho A_1^2 (A_2 - A_3)} \left[ \alpha_1 A_1 (2A_2 A_3 - A_1 A_2 - A_1 A_3) + \alpha_2 A_1 A_2 (A_1 - A_3) + \alpha_3 A_1 A_3 (A_1 - A_2) \right]; \quad (3.2)$$

$$c = \frac{k_0^2}{(A_2 - A_3)\rho} \left[ \alpha_2 (A_1 - A_3) + \alpha_3 (A_1 - A_2) + \alpha_1 (A_2 + A_3 - 2A_1) \right].$$

Тогда выражение для величины  $h$  системы (2.2) в случае  $k^2 \ll 1$  имеет вид

$$h = \left( \frac{2T_0}{G_0^2} q(t) - \frac{1}{A_2} \right) \frac{A_2 A_3}{A_2 - A_3}, \quad q(t) = e^{(c-2b) \exp(-\rho t)},$$

а величина  $a^2$  определяется равенством

$$a^2 = \frac{A_1 A_3}{A_1 - A_3} \left[ \frac{2T_0}{G_0^2} q(t) - \frac{1}{A_1} \right].$$

Получим, что функция  $H(t)$  для  $k^2 \ll 1$  в случаях  $2TA_2 - G^2 \geq 0$  определена соответственно формулами

$$H = \frac{1}{2} \left\{ \frac{3A_1 A_3}{A_1 - A_3} \left[ \frac{2T_0}{G_0^2} q(t) - \frac{T_0}{G_0^2} k^2 q(t) - \frac{1}{A_1} + \frac{1}{2A_1} k^2 \right] - 1 \right\}; \quad (3.3)$$

$$H = \frac{1}{2} \left\{ \frac{3}{2} \frac{A_1 A_3}{A_1 - A_3} \left[ \frac{2T_0}{G_0^2} q(t) - \frac{1}{A_1} \right] - 1 \right\}.$$

Подставляем (3.3) во второе уравнение системы (2.5) и получаем дифференциальные уравнения изменения угла  $\lambda$ , которые могут быть аналитически проинтегрированы в обоих случаях.

При движении вектора кинетического момента в окрестности оси  $Oz_3$  функция  $\lambda(t)$  определена формулой

$$\lambda = \frac{a_1 R_0^2 \omega_0^{4/3} \cos \delta}{4\mu^{2/3} G_0 (1 - e^2)^{1/2} \rho} \left\{ \frac{2T_0 M}{G_0^2} (3b - c)^{\frac{\alpha_1}{\rho}} \left[ -\gamma\left(-\frac{\alpha_1}{\rho}, (3b - c)\right) + \gamma\left(-\frac{\alpha_1}{\rho}, (3b - c)e^\tau\right) \right] - \frac{T_0 M k_0^2}{G_0^2} (3b - c)^{\frac{\alpha_1 - \rho}{\rho}} \left[ -\gamma\left(-\frac{\alpha_1 - \rho}{\rho}, (3b - c)\right) + \gamma\left(-\frac{\alpha_1 - \rho}{\rho}, (3b - c)e^\tau\right) \right] \right\} -$$

$$-\left(\frac{M}{A_1} + 1\right) b^{\frac{\alpha_1}{\rho}} \left[ -\gamma\left(-\frac{\alpha_1}{\rho}, b\right) + \gamma\left(-\frac{\alpha_1}{\rho}, be^\tau\right) \right] + \\ + \frac{Mk_0^2}{2A_1} b^{\frac{\alpha_1 - \rho}{\rho}} \left[ -\gamma\left(-\frac{\alpha_1 - \rho}{\rho}, b\right) + \gamma\left(-\frac{\alpha_1 - \rho}{\rho}, be^\tau\right) \right] \} + \lambda_0.$$

Аналогично при движении в окрестности оси  $Oz_1$  имеем выражение

$$\lambda = -\frac{a_1 R_0^2 \omega_0^{4/3} \cos \delta}{4\mu^{2/3} G_0 (1 - e^2)^{1/2} \rho} \left\{ \frac{3A_1 A_3}{(A_1 - A_3)} \frac{T_0 M}{G_0^2} (3b - c)^{\frac{\alpha_1}{\rho}} \left[ -\gamma\left(-\frac{\alpha_1}{\rho}, (3b - c)\right) + \right. \right. \\ \left. \left. + \gamma\left(-\frac{\alpha_1}{\rho}, (3b - c)e^\tau\right) \right] - \left(\frac{A_3 + 2A_1}{2(A_1 - A_3)}\right) b^{\frac{\alpha_1}{\rho}} \left[ -\gamma\left(-\frac{\alpha_1}{\rho}, b\right) + \gamma\left(-\frac{\alpha_1}{\rho}, be^\tau\right) \right] \right\} + \lambda_0.$$

Здесь

$$M = \frac{3A_1 A_3}{A_1 - A_3}$$

и  $\gamma(n, x)$  — неполная гамма функция [20].

Представляет интерес исследование системы (2.2) в случае малых диагональных коэффициентов сопротивления, т.е.

$$I_{11} = \mu' i_{11}, \quad I_{22} = \mu' i_{22}, \quad I_{33} = \mu' i_{33}, \quad \text{где } \mu' \ll 1. \quad (3.4)$$

Функции кинетического момента  $G$  и кинетической энергии  $T$  могут быть представлены в виде степенных рядов по  $\mu'$ :

$$G = G_0 + \mu' G_1 + \dots, \quad T = T_0 + \mu' T_1 + \dots$$

Два последних уравнения системы (2.2) после интегрирования записываются следующим образом:

$$G = G_0 - \frac{G_0 \mu' t}{D(k_0)} \left\{ i_{22}(A_1 - A_3)W(k_0) + \right. \\ \left. + i_{33}(A_1 - A_2) [k_0^2 - W(k_0)] + i_{11}(A_2 - A_3)(1 - W(k_0)) \right\}, \\ T = T_0 - \frac{2T_0 \mu' t}{D(k_0)} \left\{ i_{22}(A_1 - A_3)W(k_0) + i_{33}(A_1 - A_2) [k_0^2 - W(k_0)] + \right. \\ \left. + \frac{(A_1 - A_2)(A_1 - A_3)(A_2 - A_3)}{V(k_0)} \left\{ \frac{i_{33}}{A_3} [k_0^2 - W(k_0)] + \frac{i_{22}}{A_2} (1 - k_0^2)W(k_0) \right\} + \right. \\ \left. + \frac{i_{11}}{A_1} \cdot \frac{(A_2 - A_3)D(k_0)}{V(k_0)} [1 - W(k_0)] \right\}.$$

Здесь  $W(k_0)$ ,  $D(k_0)$ ,  $V(k_0)$  — значения функций (2.2) при  $k = k_0$ . Видно, что функции  $G(t)$  и  $T(t)$  являются строго убывающими, как и в случае системы (2.2). Для малых моментов сопротивления необходимо также построить приближенное решение для переменной  $k^2$ :

$$k^2 = k_0^2 + \frac{2\mu' t}{A_1 A_2 A_3} \left\{ A_1 (i_{33} A_2 - i_{22} A_3) (1 - k_0^2) - \right.$$

$$- \left[ A_1(i_{33}A_2 - i_{22}A_3) + A_3(i_{22}A_1 - i_{11}A_2)k_0^2 \right] \cdot \frac{E(k_0)}{K(k_0)} \Bigg\}.$$

В обоих случаях при  $2TA_2 - G^2 \geq 0$  для малых  $\mu' \ll 1$  функция  $\lambda(t)$  интегрируется аналитически и выражается через квадратические функции времени вида

$$\lambda = - \frac{a_1 \omega_0^{4/3} \cos \delta}{2\mu^{2/3}(1-e^2)^{1/2}G_0} (Z_1 t + Z_2 t^2), \quad (3.5)$$

где коэффициенты  $Z_i$  ( $i = 1, 2$ ) выражаются через моменты инерции  $A_i$  ( $i = 1, 2, 3$ ), коэффициенты сопротивления  $i_{ii}$  ( $i = 1, 2, 3$ ), начальные значения кинетической энергии  $T_0$  и кинетического момента  $G_0$  и значения полных эллиптических интегралов первого  $K(k)$  и второго рода  $E(k)$  при  $k = k_0$ .

Был также рассмотрен случай малых  $k^2$  и малых коэффициентов сопротивления (3.3). При малых  $k^2$  были получены законы изменения кинетического момента  $G$ , кинетической энергии  $T$  (3.2), которые с учетом малых первого порядка  $\mu'$  дают

$$G = G_0 \{1 + m - nt\}, \quad T = T_0 \{1 + q - \varsigma t\},$$

$$n = \mu' \left\{ \alpha_{1\mu} + \frac{k_0^2}{2A_1^2(A_2 - A_3)} \left[ \alpha_{1\mu} A_1 (A_2 A_3 - A_1 A_2 - A_1 A_3) + \right. \right. \\ \left. \left. + \alpha_{2\mu} A_1 A_2 (A_1 - A_3) + \alpha_{3\mu} A_1 A_3 (A_1 - A_2) \right] \right\},$$

$$m = \frac{0.5k_0^2}{\rho_\mu A_1^2 (A_2 - A_3)} \left[ \alpha_{1\mu} A_1 (A_2 A_3 - A_1 A_2 - A_1 A_3) + \right. \\ \left. + \alpha_{2\mu} A_1 A_2 (A_1 - A_3) + \alpha_{3\mu} A_1 A_3 (A_1 - A_2) \right],$$

$$q = \frac{k_0^2}{(A_2 - A_3)\rho_\mu} \left[ \alpha_{2\mu} (A_1 - A_3) + \alpha_{3\mu} (A_1 - A_2) + \alpha_{1\mu} (A_2 + A_3 - 2A_1) \right],$$

$$\varsigma = \mu' \left\{ 2\alpha_{1\mu} + \frac{k_0^2}{(A_2 - A_3)} \left[ \alpha_{2\mu} (A_1 - A_3) + \alpha_{3\mu} (A_1 - A_2) + \alpha_{1\mu} (A_2 + A_3 - 2A_1) \right] \right\},$$

$$\rho_\mu = \alpha_{2\mu} + \alpha_{3\mu} - 2\alpha_{1\mu}, \quad \alpha_{i\mu} = i_{ii}/A_i \quad (i = 1, 2, 3). \quad (3.6)$$

Функции  $G(t)$  и  $T(t)$  являются строго убывающими, как во всех ранее рассмотренных случаях. Для определения направления вращения вектора  $\mathbf{G}$  второе уравнение системы (2.5) приведено к другому виду с учетом (3.6). После интегрирования получим также квадратичную функцию вида (3.5).

Авторы благодарят Л.Д. Акуленко за внимание к работе, ценные советы и полезные обсуждения.

## Список литературы

1. *Белецкий В.В.* Движение искусственного спутника относительно центра масс. — М.: Наука, 1965. — 416 с.
2. *Черноуцко Ф.Л.* О движении спутника относительно центра масс под действием гравитационных моментов // ПММ. — 1963. — Т. 27, № 3. — С. 471–483.
3. *Белецкий В.В.* Движение спутника относительно центра масс в гравитационном поле. — М.: Изд-во МГУ, 1975. — 308 с.
4. *Белецкий В.В., Яншин А.М.* Влияние аэродинамических сил на вращательное движение искусственных спутников. — Киев: Наукова думка, 1984. — 168 с.
5. *Акуленко Л.Ф., Лещенко Д.Д., Черноуцко Ф.Л.* Быстрое движение вокруг неподвижной точки тяжелого твердого тела в сопротивляющейся среде // Изв. АН СССР. МТТ. — 1982. — № 3. — С. 5–13.
6. *Кузнецова Е.Ю., Сазонов В.В., Чебуков С.Ю.* Эволюция быстрого вращения спутника под действием гравитационного и аэродинамического моментов // Изв. РАН. МТТ. — 2000. — № 2. — С. 3–14.
7. *Акуленко Л.Д., Лещенко Д.Д., Рачинская А.Л.* Эволюция вращений спутника относительно центра масс под действием гравитационного момента и момента сил сопротивления // Четвертые Поляховские чтения: Избранные тр. — СПб.: Изд-во "ВВМ", 2006. — С. 222–231.
8. *Карымов А.А.* Устойчивость вращательного движения геометрически симметричного искусственного спутника Солнца в поле сил светового давления // ПММ. — 1964. — Т. 28, № 5. — С. 923–930.
9. *Абалакин В.К., Аксенов Е.П., Гребенников Е.А., Демин В.Г., Рябов Ю.А.* Справочное руководство по небесной механике и аэродинамике. — М.: Наука, 1976. — 862 с.
10. *Поляхова Е.Н.* Космический полет с солнечным парусом: проблемы и перспективы. — М.: Наука, 1986. — 304 с.
11. *Сидоренко В.В.* О вращательном движении космического аппарата с солнечным стабилизатором // Космич. исслед. — 1992. — Т. 30, № 6. — С. 780–790.
12. *Сазонов В.В.* Движение астероида относительно центра масс под действием момента сил светового давления // Астрон. вестник. — 1994. — Т. 28, № 2. — С. 95–107.
13. *Лещенко Д.Д., Шамаев А.С.* О движении спутника относительно центра масс под действием моментов сил светового давления // Изв. АН СССР. МТТ. — 1985. — № 1. — С. 14–21.
14. *Акуленко Л.Д., Лещенко Д.Д.* Эволюция вращений трехосного спутника, близкого к динамически-сферическому, под действием моментов сил светового давления // Изв. РАН. МТТ. — 1996. — № 2. — С. 3–12.
15. *Лещенко Д.Д.* Эволюция вращений трехосного тела под действием момента сил светового давления // Изв. РАН. МТТ. — 1997. — № 6. — С. 17–26.
16. *Акуленко Л.Д., Лещенко Д.Д., Суксова С.Г., Тимошенко И.А.* Движение спутника относительно центра масс под действием гравитационных и световых моментов // Механика твердого тела. — 2004. — № 34. — С. 95–105.
17. *Акуленко Л.Д., Лещенко Д.Д., Суксова С.Г., Тимошенко И.А.* Эволюция вращений трехосного спутника, близкого к динамически-сферическому, под действием гравитационных и световых моментов // Изв. РАН. МТТ. — 2006. — № 4. — С. 97–107.
18. *Волосов В.М., Моргунов Б.И.* Метод осреднения в теории нелинейных колебательных систем. — М.: Изд-во МГУ, 1971. — 507 с.
19. *Ландау Л.Д., Лифшиц Е.М.* Теоретическая физика. Т.1: Механика. — М.: Наука, 1973. — 208 с.
20. *Градштейн И.С., Рыжик И.М.* Таблицы интегралов, сумм, рядов и производных. — М.: Наука, 1971. — 1108 с.
21. *Акуленко Л.Д.* Схемы усреднения высших степеней в системах с медленной и быстрой фазами // ПММ. — 2002. — Т. 66, № 2. — С. 165–176.